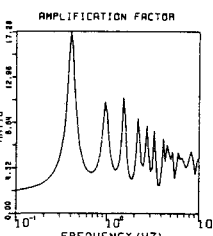


徳島大学工学部 学生員 雄野 彰浩  
徳島大学工学部 正員 沢田 勉  
徳島大学工学部 学生員 芳賀 正史

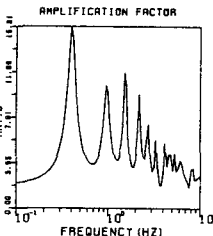
1. はじめに 地震動は震源機構、伝播経路、表層の地盤性状等の影響を受けて複雑に変動する現象である。とくに、表層の地盤条件は地震動特性に大きな影響を与えるため、構造物を建設する際には、その地点の地盤条件を標準買入試験等により調べ、構造物基礎を支持する層（以後、建設基盤と呼ぶ）を検索せねばならない。近年、構造物の大型化、長周期化とともに、地震波に含まれる長周期成分波が重要になってきた。この長周期成分波は、建設基盤から基礎岩盤（以後、地震基盤と呼ぶ）に至る深層の地盤特性の影響をもうけたため、深層の地盤条件を知ることが必要である。深層の地盤条件を知るには、深いボーリング調査を行なわねばならないが、多大の经费と労力を必要とするため、国内では数地点（東京、八戸等）を除いては、そのようなデータは得られていない。本研究の目的は、地表で得られた記録のフーリエスペクトルと重複反射理論による地盤の伝達関数の相似性を用いて、建設基盤以深の地盤条件を推定することにあるが、ここでは、その予備段階として、ある地盤の伝達関数をえ、それに一致する伝達関数を持つような地盤を推定する手法を提案した。

2. 本研究の概要と定式化 本研究では、次のよう仮定を設けた。  
(1) 地震基盤での加速度フーリエスペクトル（以下スペクトルと略す）の振中がある周波数領域で一定であり、表層でのスペクトル形状と地盤の伝達関数は相似形である。この仮定の妥当性は、小林らによると9個所の地震計設置場所における平均的な伝達関数の推定<sup>(1)</sup>および、実測より求めた伝達関数との比較により検討されている<sup>(2)</sup>。  
(2) 地震基盤以浅の地盤特性の異なる3層の地盤（下とえば、沖積層、未積層、第3紀層）でモデル化する。この仮定の妥当性を検討するため、八戸における実際の地盤条件を用いた。Fig. 1、Table 1に八戸における実際の地盤性状とそれより計算される伝達関数を示している。Fig. 2、Table 2にはそれを3層近似した場合を示している。Fig. 1、Fig. 2を比較すると、伝達関数の形状に差はないといふべきではない。Table 3に地震動の重要な性質の1つである卓越周期を示すが、ここで問題をそなへて一致している。  
(3) 1層目の地盤性状（層厚、S波速度、減衰に関する定数）は、標準買入試験のデータより求められる値を用いる。  
(4) 地震基盤のS波速度は3km/sとする。以上のような仮定を基に、地表でのスペクトル（ここでは、モデル地盤の伝達関数を与えるものとする）に一致するような伝達関数を有する、第2層、第3層の地盤特性値（層厚、S波速度、Q値）を次のよう手法により推定する。すなへて、地表でのスペクトルを伝達関数で除した値を地震基盤でのスペクトルとし、そのスペクトルが工学的に重要な周波数領域（0.1～10Hz）において一定値になるように第2層、第3層の地盤性状を決定する。他方、地表でのスペクトル形状を考慮した場合、その振中がピーク値をとる周期（地盤の卓越周期）が重要となるので、地盤のスペクトルと伝達関数の卓越周期が一致するこれが必要である。ここでは、長周期側より数個の卓越周期を取り出して地表でのスペクトルと求めた伝達関数のそれが一致するという条件を設けた。地盤伝達関数は、地盤構造の関数であるので次のように示すことができる。



1.2層よりなる八戸地盤より  
得られる周波数応答関数

Fig. 1



3層地盤近似のとき得  
れる周波数応答関数

D	Vs	H	Q
1	1.8	107	2.0
2	1.8	176	2.0
3	1.9	201	2.5
4	1.9	193	2.5
5	1.7	239	6.5
6	1.7	234	6.5
7	1.8	248	10.0
8	1.8	309	8.0
9	1.8	378	10.0
10	1.7	379	130.0
11	2.0	690	180.0
12	2.1	1100	20.0
13	2.5	3000	-

Table 1

1.2層地盤構造  
D : 層厚  
H : 層厚  
V : せんざん波速度  
Q : 減衰を考慮する定数

Table 2

D	Vs	H	Q
1	1.8	220	30.0
2	1.9	380	150.0
3	2.0	730	200.0
4	2.5	3000	-

3層地盤構造

D : 層厚

H : 層厚

V : せんざん波速度

Q : 減衰を考慮する定数

Table 3

TG1	TG2	TG3	TG4
12L 2.512	1.047	0.661	0.457
4L 2.484	1.031	0.648	0.457

3層地盤構造

D : 層厚

H : 層厚

V : せんざん波速度

Q : 減衰を考慮する定数

Table 3

$A(t) = g(t, x_1, x_2, \dots, x_n)$  ——— (1) ここで  $A$  は各周波数における伝達関数の値で  $x_1 \sim x_n$  は地盤特性を表わす変数で、層厚 ( $H$ )、S 波速度 ( $V_s$ )、減衰に関する定数 ( $Q$ ) である。一方、地表でのスペクトルを  $F_S(t)$  とすると、地震基盤でのスペクトル  $B(t)$  は次式で示される。 $B(t) = F_S(t)/A(t)$  ——— (2) 二の  $B(t)$  が対象とする周波数領域で一定であるためには、 $F_S(t)/A(t) \approx k$  ——— (3) という関係が成立しなければならない。式(1)において、 $x_i$  に適當な値を選ぶと式(3)は近似的に満足される。式(3)を近似的に満足するよう  $x_i$  を求めるには、 $k$  と  $F_S(t)/A(t)$  の自乗誤差を最小にするという基準で選ぶ。ここで先ほどの近似的対象とする全ての周波数領域での  $F_S(t)/A(t)$  の平均値とする。したがって、モデルの定数  $k$  を決定する問題は次式で与えられる。

$$S_e = \frac{1}{n} \left\{ F_S(t)/A(t) - k \right\}^2 = G\{x_1, x_2, \dots, x_n\} \longrightarrow \min \quad (4)$$

制約条件  $x_i \geq 0, (1-\gamma) T_{gj} \leq \tilde{T}_{gj} \leq (1+\gamma) T_{gj}$  ——— (5)

ここで  $T_{gj}$  はスペクトルの卓越周期、 $\tilde{T}_{gj}$  は伝達関数の卓越周期であり、 $\gamma$  は卓越周期の推定値  $\hat{T}_{gj}$  に上下限を設けるために導入した定数で微小な値とする。この問題は式(4)の制約条件のもとに式(4)を最小にする最適化問題となる。式(4)～(5)の解法には反復線形計画法を用いる。まず、 $x_i$  の初期値として  $x_i^{(0)}$  を与え、式(4)～(5)を初期値のまわりにテーラー展開し、2 次以上の微小項を無視すると次式のようになる。

$$S_e = G(X_i^{(0)} + \Delta X_i) = G(X_i^{(0)}) + \sum \frac{\partial G}{\partial X_i} \Delta X_i \longrightarrow \min \quad (6)$$

制約条件  $(1-\gamma) T_{gj} \leq \tilde{T}_{gj}(X_i^{(0)}) + \sum \frac{\partial \tilde{T}_{gj}}{\partial X_i} \Delta X_i \leq (1+\gamma) T_{gj}$  ——— (7)

式(7)の制約をもとに式(6)の目的関数を最小にする  $\Delta X_i$  を求めると、解の発散を防ぐために次の制約が必要となる。

more limit  $-\gamma X_i^{(0)} \leq \Delta X_i \leq \gamma X_i^{(0)}$  ——— (8)

以上のようにすると、この問題は式(7)～(8)の制約条件をもとに式(6)の目的関数  $S_e$  を最小にする変数  $\Delta X_i$  を求める線形計画問題となるから、LP の手法をくり返し用いることにより解くことができる。

### 3. 計算結果 この手法の妥当性の検討のために次のようないくつか計算を試

みた。地表でのスペクトルの代わりに任意の地盤モデルを設定し、その地盤性状より計算される伝達関数を地盤のスペクトルとする。このスペクトルと相似形となる伝達関数を持つ地盤性状を、本手法により推定する。以下に計算結果を示す。モデル地盤としては、Table 2 の八戸 3 層モデルを用いた。初期値として 1 層目の地盤性状は上述のとおり標準震入試験による値を用いて既知とした。2, 3 層目の地盤性状は Table 4 によるとおり設定した。これは一般に深層ほど S 波速度は大きいと考え、密度、Q 値に関しては文献(3)でのデータにより与えたものである。これらは初期値による最適解を Table 5, Table 6 に示す。これらの表より最適解が複数個存在する場合がある。これは、この種の非線形最適化問題には、局所的な最適解がいくつか存在するためである。このような場合、いくつから初期値より出発し、それらのうちで自乗誤差が最小なものを選択すればよい。したがって、このモデル地盤に対する最適解は Table 6 の No.2 となり、Table 2 のモデル地盤とほぼ同程度の地盤が推定できた。

4.まとめ 今回はモデル地盤を想定して、本手法の妥当性の検討を行い、ほぼ妥当な結果となった。現在、表層での観測より得られた記録のスペクトルを用い、地盤性状を推定することを考えていこう。

5. 参考文献 (1) 小林・長崎；地表で観測された地震動の周期特性から求めた地盤の增幅特性と地震基盤における地震動の性質 日本建築学会論文報告集 No.240 (2) 小林・翠川；地震動の地震基盤からの入射スペクトルの性質 同 No.273 (3) 土木学会東北支部；1978 年宮城県沖地震調査報告書(第 2 章 地震)

Table 4

層番号	密度 D	減衰定数 Q	せん断波速度 V	層厚 H
1	既知量	既知量	既知量	既知量
2	1.9	30	500	H2=T2×V2/4
3	2.0	100	1000	H3=T3×V3/4
基盤	2.5	200	3000	—

Table 5

初期値設定による収束性および収束値

T3-T2	0.5	1.0	1.5	2.0	3.0	5.0
0.5	—	—	—	No.1	No.1	—
1.0	—	—	No.2	No.1	—	—
1.5	—	No.2	No.2	—	—	—
2.0	No.2	No.2	—	—	—	—
3.0	—	—	—	—	—	—
5.0	—	—	—	—	—	—

— は解ないものを示す。

Table 6

No.1	H	V
1	30	220
2	54	370
3	430	820
4	—	3000
S.ERROR=	2.45	

No.2	H	V
1	30	220
2	170	420
3	220	810
4	—	3000
S.ERROR=	0.139	